

FIG. 1B

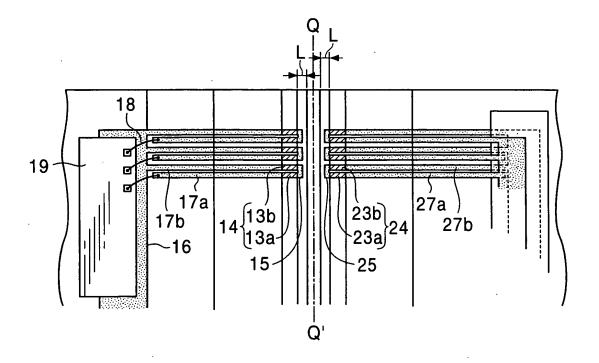


FIG. 2A

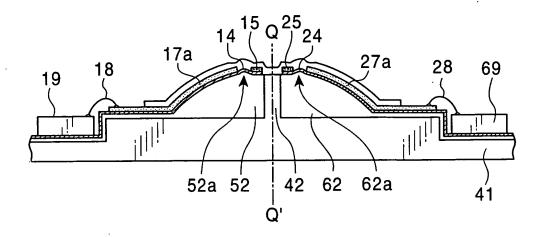


FIG. 2B

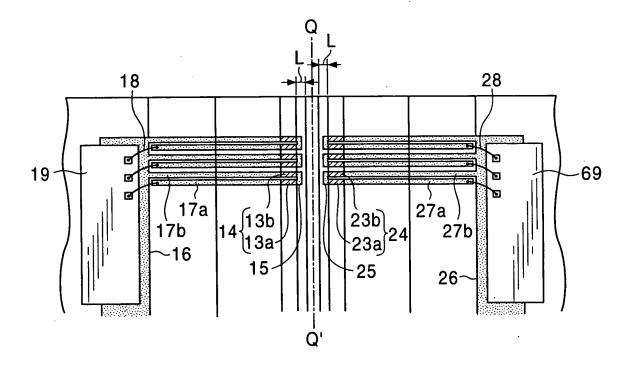


FIG. 3A

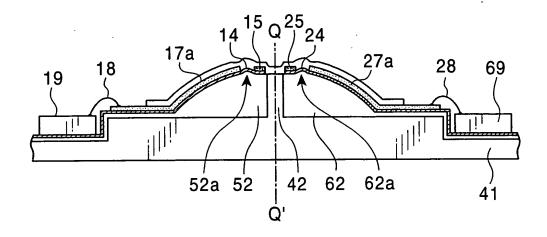
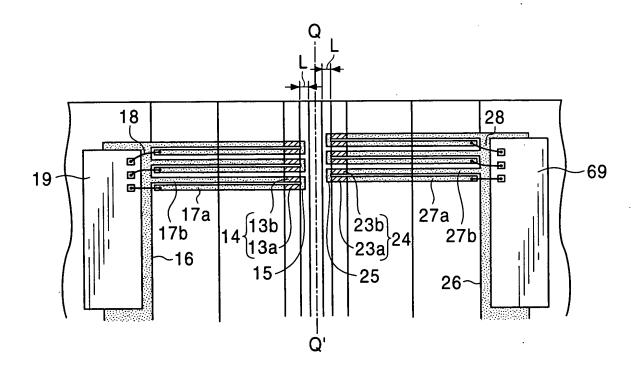


FIG. 3B





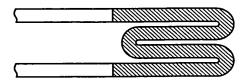


FIG. 4B

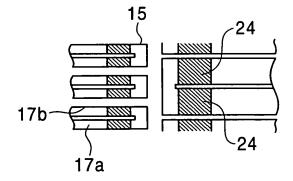


FIG. 5

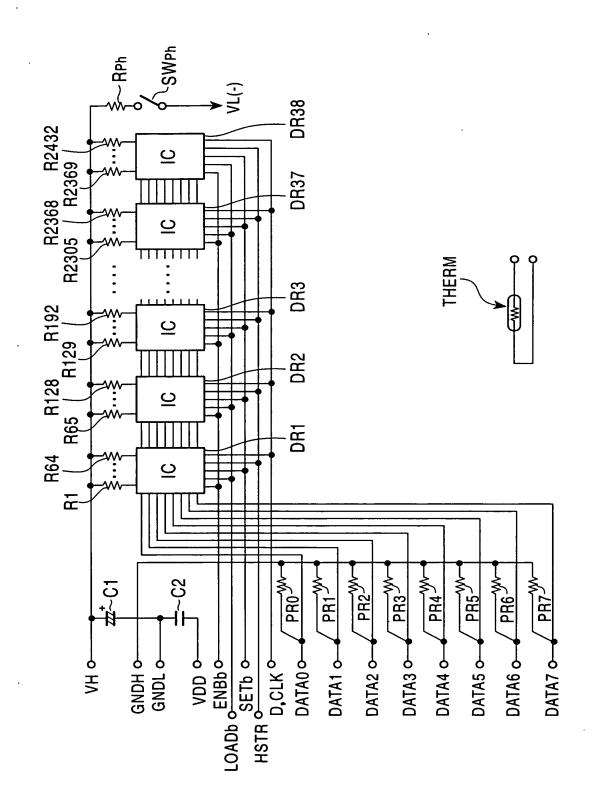
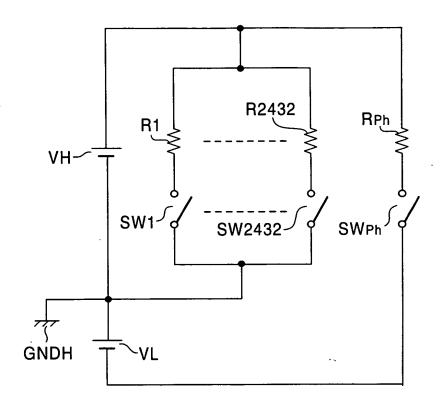


FIG. 6



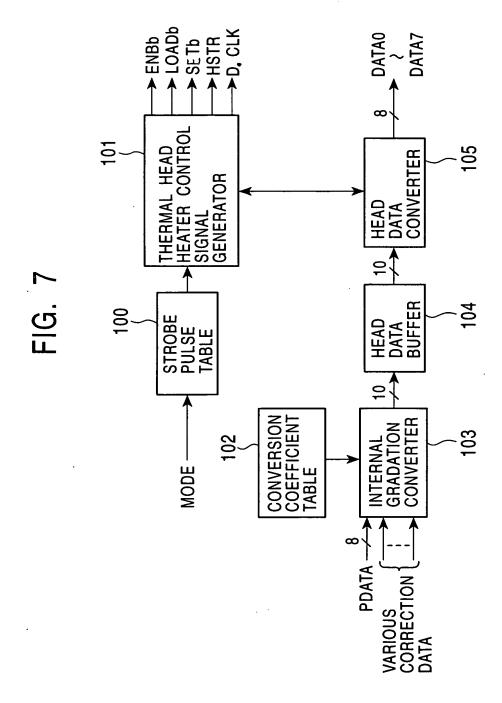
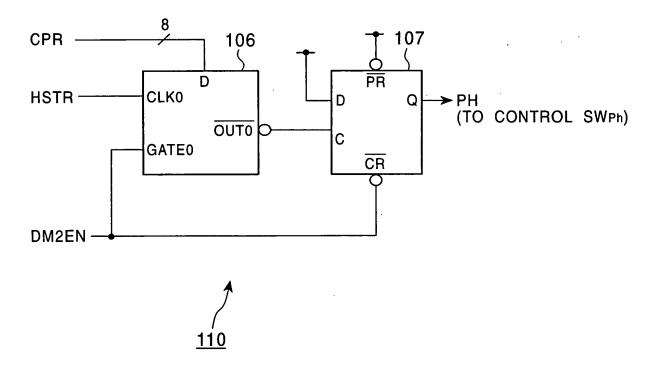
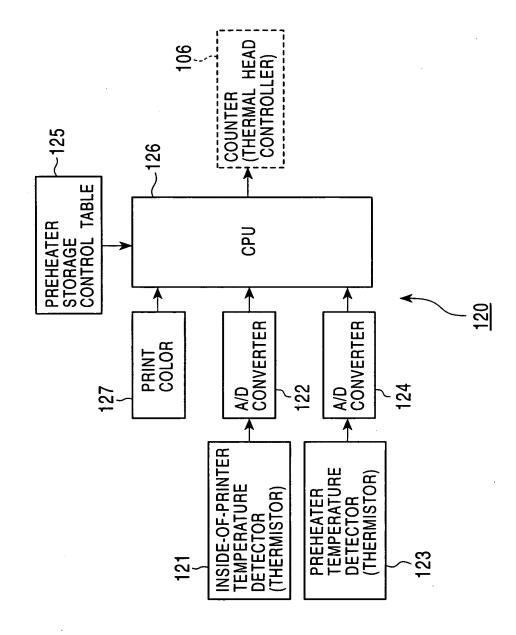


FIG. 8



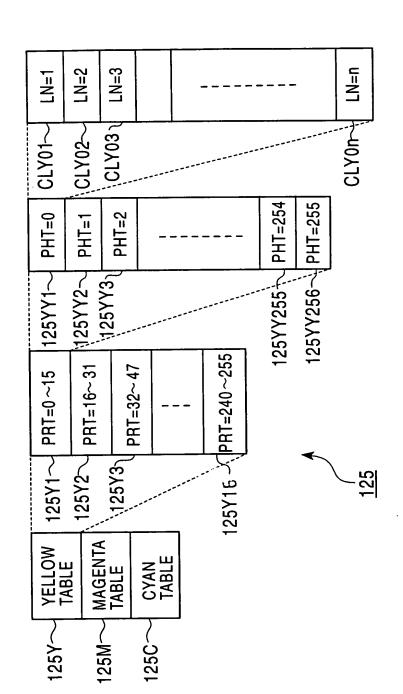
OBLON, SPIVAK, ET AL DOCKET #: 204290US2X INV: Hayami SUGIYAMA, et al. SHEET <u>9</u> OF <u>27</u>

FIG. 9

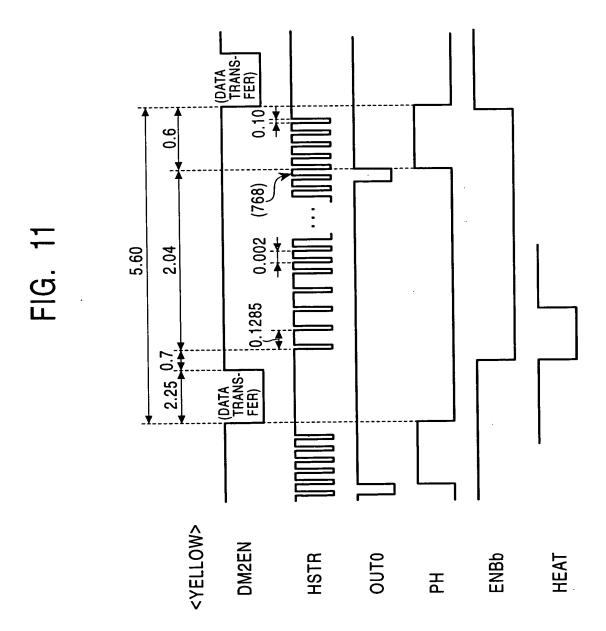


OBLON, SPIVAK, ET AL DOCKET #: 204290US2X INV: Hayami SUGIYAMA, et al. SHEET 10 OF 27

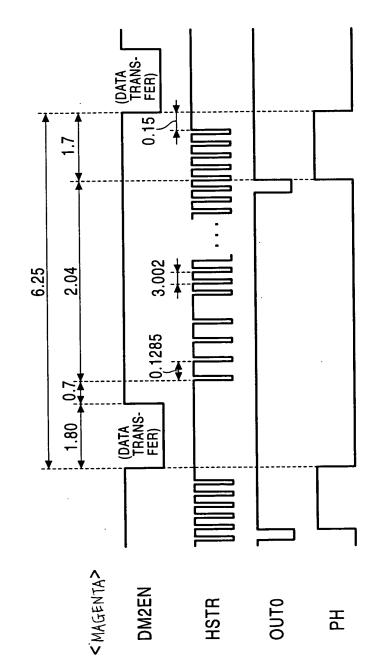
FIG. 10



OBLON, SPIVAK, ET AL DOCKET #: 204290US2X INV: Hayami SUGIYAMA, et al. SHEET 11 OF 27



=1G. 12



OBLON, SPIVAK, ET AL DOCKET #: 204290US2X INV: Hayami SUGIYAMA, et al. SHEET 13 OF 27

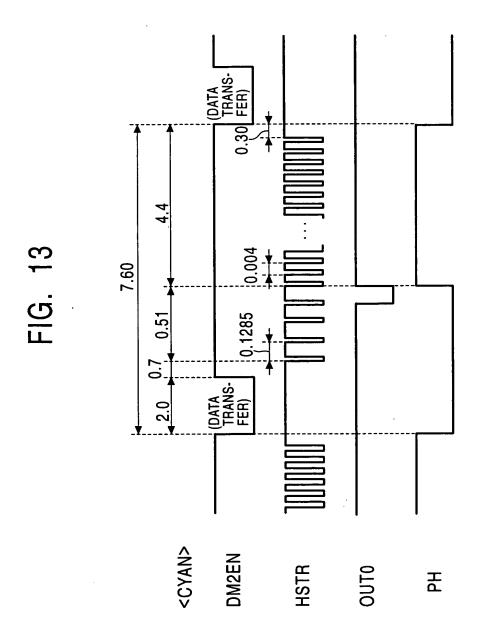
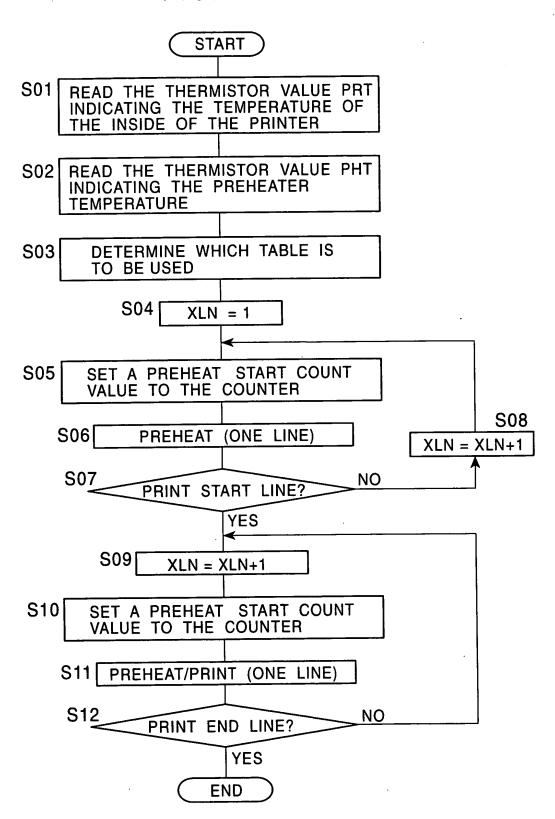
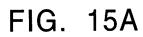


FIG. 14





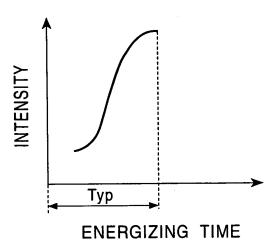


FIG. 15B

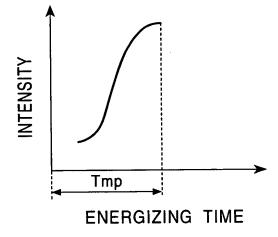


FIG. 15C

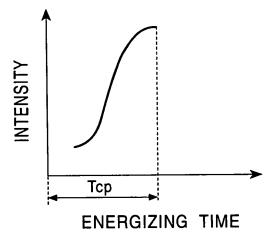


FIG. 16

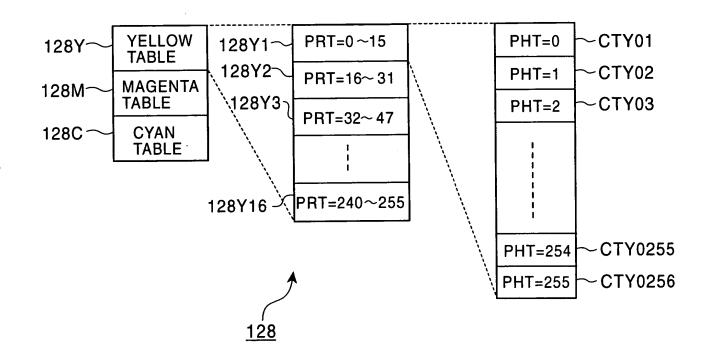
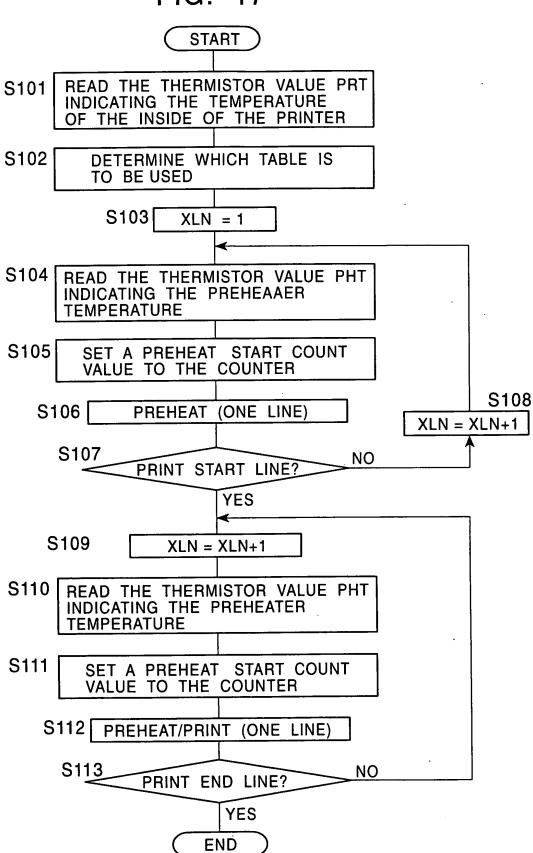


FIG. 17



OBLON, SPIVAK, ET AL DOCKET #: 204290US2X INV: Hayami SUGIYAMA, et al. SHEET <u>18</u> OF <u>27</u>

FIG. 18

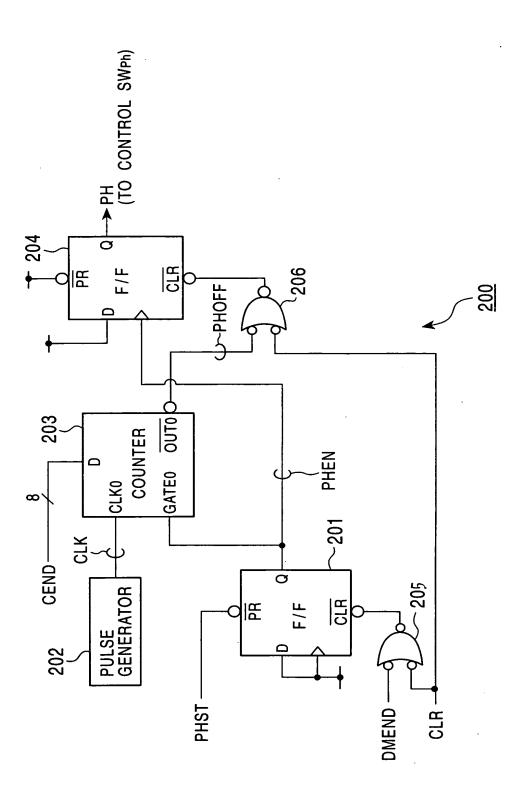
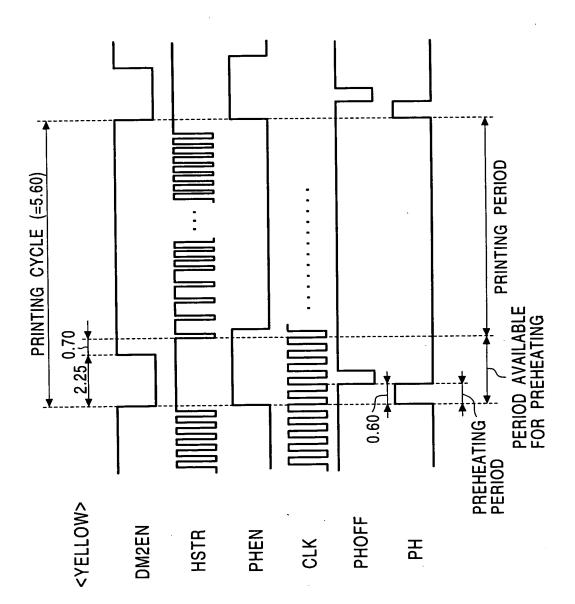


FIG. 19



i di b

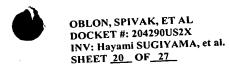


FIG. 20

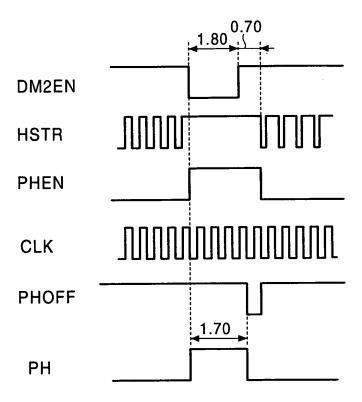


FIG. 21

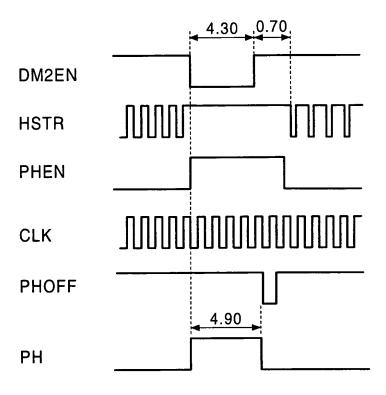


FIG. 22

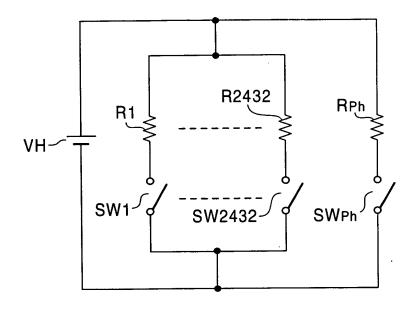


FIG. 23A

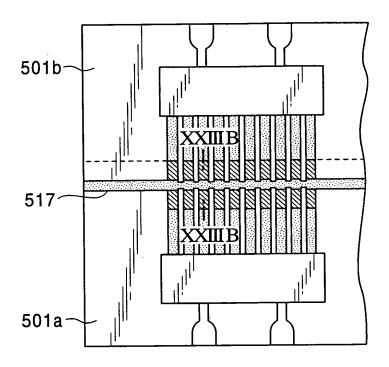


FIG. 23B

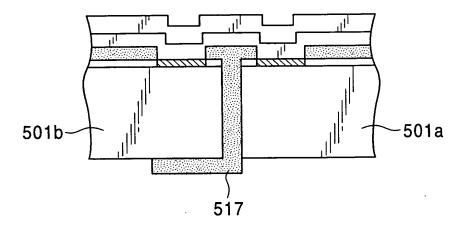


FIG. 24A

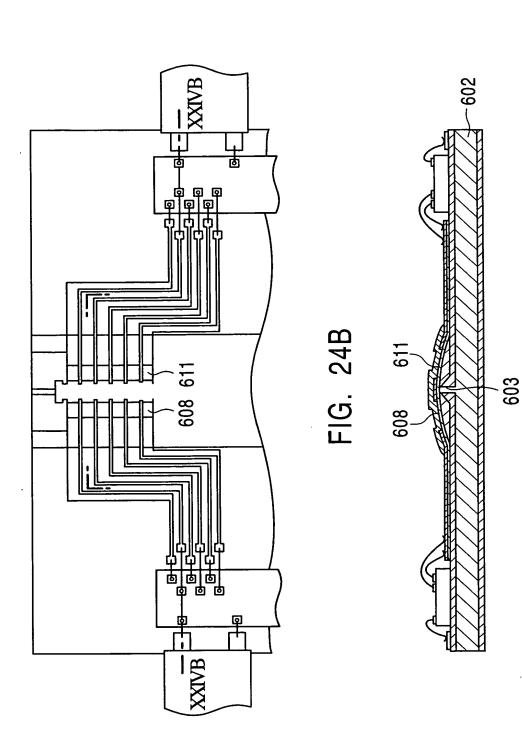


FIG. 25A

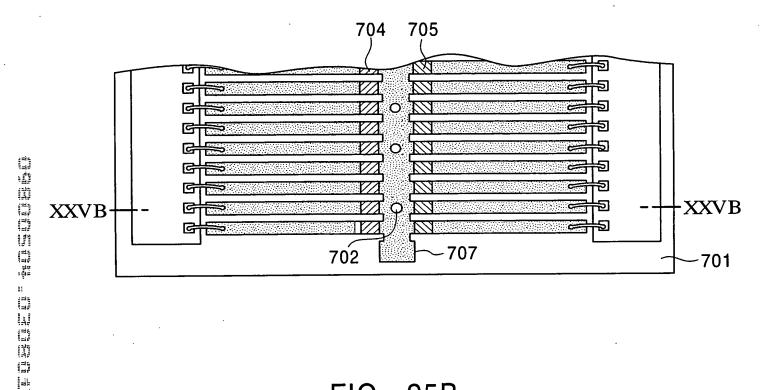


FIG. 25B

704 707 705

702 703

FIG. 26A

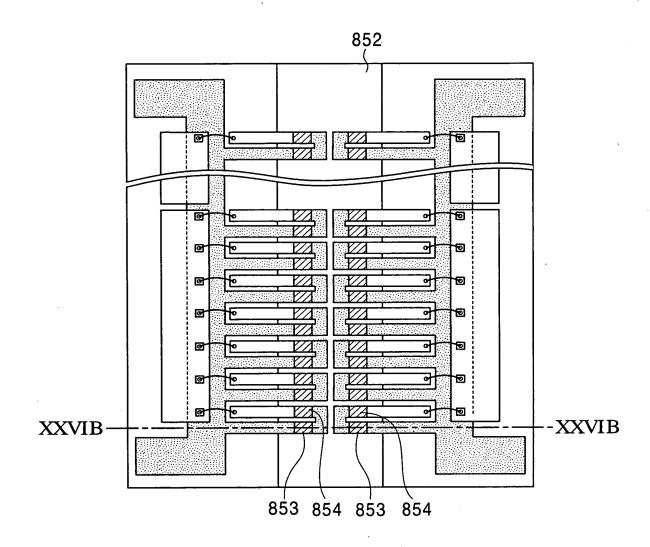


FIG. 26B

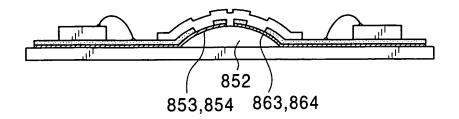


FIG. 27

